

## 树的指类型反遗忘指数的极值问题

曾明瑶<sup>1,2</sup> 邓汉元<sup>2,\*</sup>

(1. 怀化学院数学与计算科学学院, 怀化, 418000;  
2. 湖南师范大学数学与统计学院, 长沙, 410081)

**摘要** 设  $G$  为简单图,  $E(G)$  为其边集, 则  $G$  的指类型反遗忘指数  $e^{\frac{1}{F}}(G) = \sum_{uv \in E(G)} e^{\left(\frac{1}{d_G^2(u)} + \frac{1}{d_G^2(v)}\right)}$ , 其中  $d_G(u)$  为  $G$  中顶点  $u$  的度. 本文首先给出树的指类型反遗忘指数  $e^{\frac{1}{F}}$  的极小值和对应的极图, 然后研究当  $e^{\frac{1}{F}}$  达到极大值时对应的极图的一些结构性质.

**关键词** 树 指类型反遗忘指数 极值 极图

## The Extremal Value of Exponential Inverse Forgotten Index of a Tree

Zeng Mingyao<sup>1,2</sup> Deng Hanyuan<sup>2,\*</sup>

(1. School of Mathematics and Computation Science, Huaihua University, Huaihua 418000, China;  
2. School of Mathematics and Statistics, Hunan Normal University, Changsha 410081, China)

**Abstract** For a simple graph  $G$  with edge set  $E(G)$ , the exponential inverse forgotten index of  $G$  is defined as  $e^{\frac{1}{F}}(G) = \sum_{uv \in E(G)} e^{\left(\frac{1}{d_G^2(u)} + \frac{1}{d_G^2(v)}\right)}$ , where  $d_G(u)$  is the degree of the vertex  $u$  in  $G$ . In this paper, firstly, we give the minimum value of exponential inverse forgotten index of a tree and determine its corresponding extremal graph. Then, we investigate the maximum value of the exponential inverse forgotten index and describe the structural characteristics of the extremal graph.

**Key words** Tree Exponential inverse forgotten index Extremal value Extremal graph

**doi:** 10.3969/j.issn.1006-8074.2022.03.005

## 1 引言

拓扑指数起源于 1947 年, Wiener 提出在化学中用拓扑指数研究分子结构图的相关性质. 此后, 科研工作者们提出了一系列用来描述分子结构图的各种数学、化学性质的拓扑指数. 在数学、化学文献中, 有大量的分子结构描述符(拓扑指数), 被用于研究分子结构之间的相关性. 一个特殊的类别是基于顶点度的拓扑指数(简称 VDB 拓扑指数), 它在图中的研究备受学者青睐.

1972 年, 一些化学家在研究  $\pi$ -电子能量结构的依存性时, 发现能量依赖于分子结构图顶点度的平方和(也就是后来定义的第一类 Zagreb 指数), 同时发现顶点度的立方和对能量也有影响<sup>[1]</sup>, 但这类拓扑指数却未被进一步研究, 而是被遗忘, 因此称为遗忘指数.

国家自然科学基金项目(No. 11971164) 和湖南省自然科学基金项目(No. 2020JJ4423) 资助

通信作者: 邓汉元(1965-), 教授, 博士, 从事图论, 组合数学研究; E-mail: hydeng@hunnan.edu.cn

收稿日期: 2021 年 11 月 27 日

在数学、化学文献中, 目前已有一些关于遗忘指数的研究, 如 Furtula, Gutman<sup>[2]</sup> 以第一类 Zagreb 指数和第二类 Zagreb 指数为桥梁, 给出了关于图的遗忘指数的界; Li 和 Zhao 在 [3] 中讨论树的遗忘指数, 得到了其极值并刻画了对应的极树; Basavanagoud 和 Patil<sup>[4]</sup> 给出了图与其补图的遗忘指数之间的关系; Elumalai<sup>[5]</sup> 等给出了给定顶点数、边数、最大和最小顶点度的树的遗忘指数的各种下界. 关于遗忘指数的更多研究内容可参考 [6-9].

Rada 在 [10] 中给出了普通的 VDB 拓扑指数的定义: 令  $\mathcal{G}_n$  表示有  $n$  个非孤立顶点的图集, 考虑集合

$$K = \{(i, j) \in N \times N \mid 1 \leq i \leq j \leq n - 1\}.$$

对于图  $G \in \mathcal{G}_n$ , 用  $m_{i,j}(G)$  表示  $G$  中连接度为  $i$  和  $j$  的顶点的边数, 在  $\mathcal{G}_n$  上的 VDB 拓扑指数是由  $\{\varphi_{i,j}\}_{(i,j) \in K}$  诱导的函数  $\varphi : \mathcal{G}_n \rightarrow \mathbb{R}$ , 满足对任意图  $G \in \mathcal{G}_n$ ,

$$\varphi(G) = \sum_{(i,j) \in K} m_{i,j}(G) \varphi_{i,j}.$$

$\varphi_{i,j}$  选取不同形式的函数时, 对应着不同的 VDB 拓扑指数. 有关 VDB 拓扑指数的细节可参考 [11-14].

为了更好地研究拓扑指数的区分性质, Rada 在 [14] 中介绍了指类型 VDB 拓扑指数. 给定一类 VDB 拓扑指数  $\varphi$ , 指类型 VDB 拓扑指数  $e^\varphi$  定义为

$$e^\varphi(G) = \sum_{(i,j) \in K} m_{i,j}(G) e^{\varphi_{i,j}}.$$

图  $G$  的遗忘指数和反遗忘指数都是 VDB 指数, 分别定义为

$$\mathcal{F}(G) = \sum_{uv \in E(G)} (d_G^2(u) + d_G^2(v)) = \sum_{(i,j) \in K} m_{i,j}(G)(i^2 + j^2),$$

$$\frac{1}{\mathcal{F}}(G) = \sum_{uv \in E(G)} \left( \frac{1}{d_G^2(u) + d_G^2(v)} \right) = \sum_{(i,j) \in K} m_{i,j}(G) \left( \frac{1}{i^2} + \frac{1}{j^2} \right),$$

其中  $d_G(u)$  为  $G$  中  $u$  的顶点度,  $E(G)$  为图  $G$  的边集.  $G$  的指类型遗忘指数定义为

$$e^{\mathcal{F}}(G) = \sum_{(i,j) \in K} m_{i,j}(G) e^{i^2 + j^2};$$

$G$  的指类型反遗忘指数定义为

$$e^{\frac{1}{\mathcal{F}}}(G) = \sum_{(i,j) \in K} m_{i,j}(G) e^{\frac{1}{i^2} + \frac{1}{j^2}}.$$

遗忘指数的广泛研究与应用以及一系列的研究结果表明, 遗忘指数与反遗忘指数在数学领域有重要意义. 但是关于反遗忘指数的研究结果比较少, 且还没有文献对指类型反遗忘指数进行研究. 为了更好地研究拓扑指数的判别、区分性质, 指类型反遗忘指数的研究是很有必要的.

鉴于指类型 VDB 指数的良好数学性质, 本文将根据 Rada 引进的指类型 VDB 指数, 首先给出树的指类型反遗忘指数  $e^{\frac{1}{\mathcal{F}}}$  的极小值和对应的极图, 然后研究当  $e^{\frac{1}{\mathcal{F}}}$  达到极大值时对应的极图的一些结构性质.

## 2 树的指数组型遗忘指数的极小值

在这一节中, 我们考虑指数组型反遗忘指数的极小值, 并刻画对应的极图特征. 用  $\mathcal{T}_n$  表示所有  $n$  阶树的集合.

**引理 1** 若  $T$  是关于  $e^{\frac{1}{F}}$  在  $\mathcal{T}_n(n \geq 5)$  中的一棵最大树, 则  $T$  中必有长至少为 2 的悬挂路.

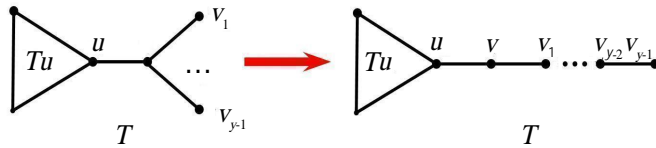


图 1 引理 1 中树  $T$  和树  $T'$

**证明** 若  $T$  中悬挂路长均为 1, 则存在如图 1 所示的分支点  $v \in V(T)$ , 满足  $N_T(v) \setminus \{u\} = \{v_1, v_2, \dots, v_{y-1}\}$ , 其中  $uv \in E(T)$ ,  $d_T(u) = x \geq 3$ ,  $d_T(v_i) = 1(1 \leq i \leq y-1)$ . 设  $d_T(v) = y \geq 2$ . 令  $T' = T - \{vv_1, vv_2, \dots, vv_{y-1}\} + \{vv_1, v_1v_2, \dots, v_{y-2}v_{y-1}\}$ , 此时  $T'$  中有一条长为  $y$  的悬挂路  $P_y = uvv_1 \cdots v_{y-1}$ , 且在  $T'$  中  $d_{T'}(v) = d_{T'}(v_1) = d_{T'}(v_2) = \cdots = d_{T'}(v_{y-2}) = 2$ ,  $d_{T'}(v_{y-1}) = 1$ , 则

$$\begin{aligned} & e^{\frac{1}{F}}(T') - e^{\frac{1}{F}}(T) \\ &= \left[ e^{\frac{1}{x^2} + \frac{1}{4}} + (y-2)e^{\frac{1}{4} + \frac{1}{4}} + e^{\frac{1}{4} + 1} \right] - \left[ e^{\frac{1}{x^2} + \frac{1}{y^2}} + (y-1)e^{\frac{1}{y^2} + 1} \right] \\ &= \left( e^{\frac{1}{x^2} + \frac{1}{4}} - e^{\frac{1}{x^2} + \frac{1}{y^2}} \right) + (y-2) \left( e^{\frac{1}{2}} - e^{\frac{1}{y^2} + 1} \right) + \left( e^{\frac{5}{4}} - e^{\frac{1}{y^2} + 1} \right) \\ &= e^{\frac{1}{x^2}} \left( e^{\frac{1}{4}} - e^{\frac{1}{y^2}} \right) + e \left( e^{\frac{1}{4}} - e^{\frac{1}{y^2}} \right) + (y-2) \left( e^{\frac{1}{2}} - e^{\frac{1}{y^2} + 1} \right) \\ &= \left( e^{\frac{1}{x^2}} + e \right) \left( e^{\frac{1}{4}} - e^{\frac{1}{y^2}} \right) + (y-2) \left( e^{\frac{1}{2}} - e^{\frac{1}{y^2} + 1} \right) \\ &< 2e \left( e^{\frac{1}{4}} - e^{\frac{1}{y^2}} \right) + (y-2) \left( e^{\frac{1}{2}} - e^{\frac{1}{y^2} + 1} \right). \end{aligned}$$

不妨令  $f(y) = 2e \left( e^{\frac{1}{4}} - e^{\frac{1}{y^2}} \right) + (y-2) \left( e^{\frac{1}{2}} - e^{\frac{1}{y^2} + 1} \right)$ . 对  $f(y)$  求导, 有

$$\begin{aligned} f'(y) &= \frac{4}{y^3} e^{\frac{1}{y^2} + 1} + \left( e^{\frac{1}{2}} - e^{\frac{1}{y^2} + 1} \right) + \frac{2(y-2)}{y^3} e^{\frac{1}{y^2} + 1} \\ &= \left( \frac{2}{y^2} - 1 \right) e^{\frac{1}{y^2} + 1} + e^{\frac{1}{2}}. \end{aligned}$$

再对  $f(y)$  求二阶导, 得

$$f''(y) = -\frac{4}{y^3} e^{\frac{1}{y^2} + 1} + \left( \frac{2}{y^2} - 1 \right) \left( -\frac{2}{y^3} \right) e^{\frac{1}{y^2} + 1} = \frac{-2y^2 - 4}{y^5} e^{\frac{1}{y^2} + 1} < 0.$$

故  $f'(y)$  为严格单调递减函数, 对于  $y > 3$ , 有

$$f'(y) < f'(3) = -\frac{7}{9} e^{\frac{10}{9}} + e^{\frac{1}{2}} < 0,$$

从而  $f(y)$  也为严格单调递减函数, 且

$$f(y) < f(3) = 2e \left( e^{\frac{1}{4}} - e^{\frac{1}{3^2}} \right) + \left( e^{\frac{1}{2}} - e^{\frac{1}{3^2}+1} \right) = 2e^{\frac{5}{4}} + e^{\frac{1}{2}} - 3e^{\frac{10}{9}} < 0.$$

综上, 我们可以得到

$$e^{\frac{1}{F}}(T') < e^{\frac{1}{F}}(T),$$

矛盾, 故  $T$  中必有长至少为 2 的悬挂路.

在证明过程中, 我们发现  $e^{\frac{1}{F}}$  在  $\mathcal{T}_n$  中达到极小值时, 对应的极图  $T$  形如毛毛虫树这种特殊结构. 接下来给出毛毛虫树的定义.

**定义 1 ([15])** 设  $T \in \mathcal{T}_n$ . 称  $T$  为毛毛虫树, 若  $P_k = v_1v_2 \cdots v_k$  为  $T$  中含有  $k$  个顶点的路, 且在顶点  $v_1$  上附着  $a_1$  个悬挂点, 在顶点  $v_2$  上附着  $a_2$  个悬挂点,  $\cdots$ , 在顶点  $v_k$  上附着  $a_k$  个悬挂点, 其中  $a_i \geq 0 (i = 1, \dots, k)$ . 我们称  $P_k = v_1v_2 \cdots v_k$  为毛毛虫树  $T$  的主路, 并把这样的树记为  $cp(k; a_1, a_2, \dots, a_k)$ , 如图 2.

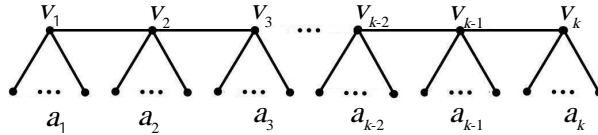


图 2 毛毛虫树  $cp(k; a_1, a_2, \dots, a_k)$

**引理 2** 若  $T$  是关于  $e^{\frac{1}{F}}$  在  $\mathcal{T}_n (n \geq 5)$  中的一棵最小树, 则  $T$  为毛毛虫树.

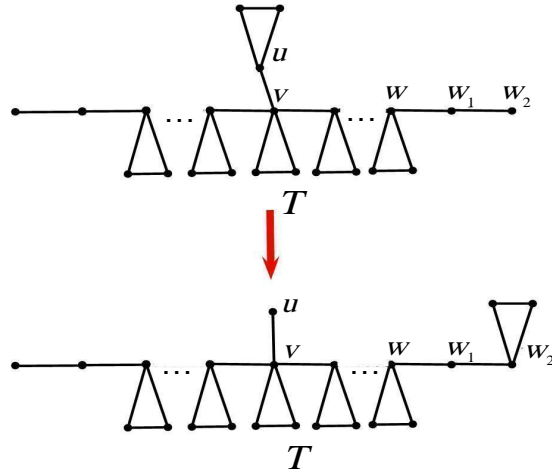


图 3 引理 2 中树  $T$  和树  $T'$

**证明** 若  $T$  是关于  $e^{\frac{1}{F}}$  在  $\mathcal{T}_n (n \geq 5)$  中的一棵最小树, 由引理 1 知,  $T$  中必有长为 2 的悬挂路, 不妨记为  $P_1 = ww_1w_2$ . 显然  $T$  中可以找到一条包含  $P_1$  的最长路  $P_2$ , 且  $T$  中存在

分支点  $v$ , 满足  $uv \in E(T)$ ,  $v \in V(P_2)$ ,  $u \notin V(P_2)$ ,  $d_T(u) = x \geq 2$ , 否则  $T$  为毛毛虫树. 设  $d_T(v) = y \geq 3$ ,  $u$  的邻域  $N_T(u) = \{v, u_1, u_2, \dots, u_{x-1}\}$ , 对应的  $d_T(u_i) = x_i (i = 1, 2, \dots, x-1)$ . 令  $T' = T - \{uu_1, uu_2, \dots, uu_{x-1}\} + \{w_2u_1, w_2u_2, \dots, w_2u_{x-1}\}$ , 则

$$\begin{aligned} & e^{\frac{1}{F}}(T') - e^{\frac{1}{F}}(T) \\ &= \left[ e^{\frac{1}{y^2}+1} + e^{\frac{1}{x^2}+\frac{1}{4}} + \sum_{i=1}^{x-1} e^{\frac{1}{x^2}+\frac{1}{x_i^2}} \right] - \left[ e^{\frac{1}{y^2}+\frac{1}{x^2}} + e^{\frac{1}{4}+1} + \sum_{i=1}^{x-1} e^{\frac{1}{x^2}+\frac{1}{x_i^2}} \right] \\ &= \left( e^{\frac{1}{y^2}} + e^{\frac{1}{4}+1} \right) + \left( e^{\frac{1}{x^2}+\frac{1}{4}} - e^{\frac{1}{y^2}+\frac{1}{x^2}} \right) \\ &= e \left( e^{\frac{1}{y^2}} - e^{\frac{1}{4}} \right) + e^{\frac{1}{x^2}} \left( e^{\frac{1}{4}} - e^{\frac{1}{y^2}} \right) \\ &= \left( e + e^{\frac{1}{x^2}} \right) \left( e^{\frac{1}{y^2}} - e^{\frac{1}{4}} \right) < 0, \end{aligned}$$

即

$$e^{\frac{1}{F}}(T') < e^{\frac{1}{F}}(T).$$

事实上, 若  $T$  中存在分支顶点  $u'$  且分支顶点  $u'$  不在最长路  $P_2$  上, 则可以继续重复上述变换, 直至这样的分支点不存在. 故要使  $e^{\frac{1}{F}}(T)$  达到极小值, 则  $T$  为毛毛虫树.

**引理 3** 若  $T = cp(k; a_1, a_2, \dots, a_k)$  是关于  $e^{\frac{1}{F}}$  在  $n \geq 5$  阶毛毛树中的一棵最小树, 则  $a_i = 0 (i = 1, 2, \dots, k)$ , 即  $T$  为路  $P_n$ , 且

$$e^{\frac{1}{F}}(P_n) = 2e^{\frac{5}{4}} + (n-3)e^{\frac{1}{2}}.$$

**证明** 为了方便接下来的计算, 我们首先考虑函数  $f(y) = e^{\frac{1}{2}}(e^{\frac{1}{4}} - e^{\frac{1}{y^2}}) + (e^{\frac{1}{2}} - e^{\frac{1}{y^2}+1})$ . 由于

$$f'(y) = \frac{2}{y^3} e^{\frac{1}{y^2}} + \frac{2}{y^3} e^{\frac{1}{y^2}+1} > 0,$$

所以  $f(y)$  为单调递增函数,

$$\begin{aligned} f(y) &= e^{\frac{1}{2}}(e^{\frac{1}{4}} - e^{\frac{1}{y^2}}) + (e^{\frac{1}{2}} - e^{\frac{1}{y^2}+1}) \\ &< \lim_{y \rightarrow \infty} e^{\frac{1}{2}}(e^{\frac{1}{4}} - e^{\frac{1}{y^2}}) + (e^{\frac{1}{2}} - e^{\frac{1}{y^2}+1}) \\ &= e^{\frac{1}{2}}(e^{\frac{1}{4}} - 1) + (e^{\frac{1}{2}} - e) \\ &= e^{\frac{3}{4}} - e \\ &< 0. \end{aligned}$$

接下来, 我们令  $P_k = v_1v_2 \cdots v_k$  为毛毛虫树  $cp(k; a_1, a_2, \dots, a_k)$  的主路, 且  $a_{k-1} = a_k = 0$ , 否则由引理 1 中变换, 可以找到更小树满足条件.

$T$  为毛毛虫树, 必然存在这样的分支顶点  $v_i$ , 使距离  $d_T(v_i, v_k)$  最短, 且  $a_i \neq 0$ . 不妨设  $d_T(v_{i-1}) = x \geq 2$ ,  $d_T(v_{i+1}) = 2$ ,  $d_T(v_i) = y \geq 3$ ,  $v_i$  的邻域  $N_T(v_i) = \{v_{i-1}, v_{i+1}, w_1, \dots, w_{y-2}\}$ , 则  $d_T(w_1) = d_T(w_2) = \cdots = d_T(w_{y-2}) = 1$ . 令  $T' = T - \{v_iw_1, v_iw_2, \dots, v_iw_{y-2}\} +$

$\{v_k w_1, v_k w_2 \dots, v_k w_{y-2}\}$ (如图 4), 则

$$\begin{aligned}
& e^{\frac{1}{F}}(T') - e^{\frac{1}{F}}(T) \\
&= [e^{\frac{1}{x^2} + \frac{1}{4}} + (y-1)e^{\frac{1}{4} + \frac{1}{4}} + e^{\frac{1}{4} + 1}] - [e^{\frac{1}{y^2} + \frac{1}{x^2}} + (y-2)e^{\frac{1}{y^2} + 1} + e^{\frac{1}{y^2} + \frac{1}{4}} + e^{\frac{1}{4} + 1}] \\
&= e^{\frac{1}{x^2}}(e^{\frac{1}{4}} - e^{\frac{1}{y^2}}) + (y-2)(e^{\frac{1}{2}} - e^{\frac{1}{y^2} + 1}) + (e^{\frac{1}{2}} - e^{\frac{1}{y^2} + \frac{1}{4}}) \\
&= (e^{\frac{1}{x^2}} + e^{\frac{1}{4}})(e^{\frac{1}{4}} - e^{\frac{1}{y^2}}) + (y-2)(e^{\frac{1}{2}} - e^{\frac{1}{y^2} + 1}) \\
&\leq e^{\frac{1}{2}}(e^{\frac{1}{4}} - e^{\frac{1}{y^2}}) + (y-2)(e^{\frac{1}{2}} - e^{\frac{1}{y^2} + 1}) \\
&< 0.
\end{aligned}$$

故  $e^{\frac{1}{F}}(T') < e^{\frac{1}{F}}(T)$ .

若仍存在分支点  $v_j$ , 满足  $a_j \neq 0$ , 则重复上述变换, 直至  $a_j = 0(j = 1, 2, \dots, k)$ . 因此, 关于  $e^{\frac{1}{F}}$  在  $n$  阶毛毛树中的一棵最小树为路  $P_n$ .

此时  $m_{1,2} = 2, m_{2,2} = n - 3$ ,

$$e^{\frac{1}{F}}(T) = e^{\frac{1}{F}}(P_n) = \sum_{(i,j) \in K} m_{i,j} e^{\frac{1}{i^2} + \frac{1}{j^2}} = 2e^{\frac{5}{4}} + (n-3)e^{\frac{1}{2}}.$$

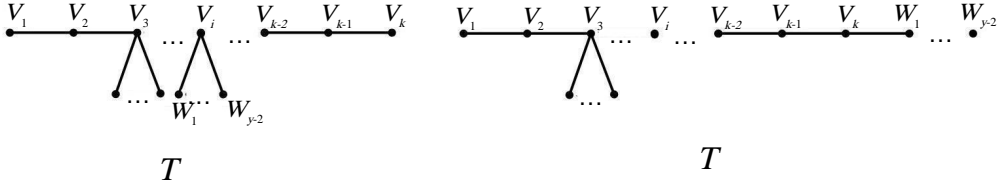


图 4 引理 3 中树  $T$  和树  $T'$

由上述引理 1-3 直接可得树关于指类型反遗忘指数的极小值和对应的极图.

**定理 1** 若  $T \in \mathcal{T}_n(n \geq 5)$  且  $T \not\cong P_n$ , 则  $e^{\frac{1}{F}}(T) > e^{\frac{1}{F}}(P_n) > 2e^{\frac{5}{4}} + (n-3)e^{\frac{1}{2}}$ .

### 3 树的指类型遗忘指数的极大值

下面将分析指类型反遗忘指数的极大值问题. 首先, 构造贪婪树, 然后研究  $e^{\frac{1}{F}}(T)$  达到极大值时极值树的一些结构性质.

**定义 2** ([16, 17]) 若给定树  $T$  的度序列, 则根据以下算法 (1)-(4) 构造而成的树称为贪婪树.

- (1) 标记  $T$  中最大度顶点为  $v_{0,1}$ (称  $v_{0,1}$  为根);
- (2) 标记顶点  $v_{0,1}$  的邻点为  $v_{1,1}, v_{1,2}, \dots$ , 且它们的顶点度不大于  $d_T(v_{0,1})$ , 同时满足  $d_T(v_{1,1}) \geq d_T(v_{1,2}) \geq \dots$ ;
- (3) 标记除  $v_{0,1}$  外, 顶点  $v_{1,1}$  的其余邻点为  $v_{2,1}, v_{2,2}, \dots$ , 且它们的顶点度不大于  $d_T(v_{1,j})(j \geq 1)$ , 同时满足  $d_T(v_{2,1}) \geq d_T(v_{2,2}) \geq \dots$ ; 再用同样方法标记  $v_{1,2}, v_{1,3}, \dots$ ;
- (4) 对于新标记的顶点重复 (3) 的做法, 直至所有顶点标记完.

用  $h(v)$  表示贪婪树中根到顶点  $v$  的距离, 称顶点  $v_{i,j}$  ( $i, j \geq 1$ ) 为顶点  $v_{i-1,j}$  的父亲, 顶点  $v_{i-1,j}$  ( $i, j \geq 1$ ) 为顶点  $v_{i,j}$  的儿子.

**引理 4** 令  $f(x, y) = e^{\frac{1}{x^2} + \frac{1}{y^2}}$ ,  $g(x, y) = f(x, y) - f(x-1, y)$ ,  $x, y \geq 1$ .

(1) 若固定  $y$ , 则  $f(x, y)$  关于  $x$  严格单调递减;

(2) 若固定  $y$ , 则  $g(x, y) < 0$  且  $g(x, y)$  关于  $x$  严格单调递增.

**证明** (1) 若固定  $y \geq 1$ , 则

$$\frac{\partial f(x, y)}{\partial x} = -\frac{2}{x^3} e^{\frac{1}{x^2} + \frac{1}{y^2}} < 0,$$

从而结论成立.

(2) 若固定  $y \geq 1$ , 则  $g(x, y) = e^{\frac{1}{x^2} + \frac{1}{y^2}} - e^{\frac{1}{(x-1)^2} + \frac{1}{y^2}}$ , 且

$$\begin{aligned} \frac{\partial g(x, y)}{\partial x} &= -\frac{2}{x^3} e^{\frac{1}{x^2} + \frac{1}{y^2}} + \frac{2}{(x-1)^3} e^{\frac{1}{(x-1)^2} + \frac{1}{y^2}} \\ &> -\frac{2}{x^3} e^{\frac{1}{x^2} + \frac{1}{y^2}} + \frac{2}{(x-1)^3} e^{\frac{1}{x^2} + \frac{1}{y^2}} \\ &= \left[ \frac{2}{(x-1)^3} - \frac{2}{x^3} \right] e^{\frac{1}{x^2} + \frac{1}{y^2}} > 0, \end{aligned}$$

由此可知, 结论成立.

**引理 5** 设  $T \in \mathcal{T}_n$  ( $n \geq 5$ ) 是使得  $e^{\frac{1}{F}}(T)$  达到最大值的一棵树, 则  $T$  为贪婪树.

**证明** 设  $v_0$  为  $T$  中最大度顶点,  $d_T(v_0) = d_0 = \Delta$ ,  $d_T(v_i) = d_i$  ( $1 \leq i < j \leq n-1$ ). 若  $T$  不是贪婪树, 则存在  $d_i < d_j$ , 其中  $i, j$  满足  $d_0 \geq d_1 \geq \dots \geq d_{i-1} \geq d_j \geq d_k$ . 于是  $d_j = \max\{d_i, d_{i+1}, \dots, d_{n-1}\}$ . 设  $u_i$  为  $v_i$  的父亲,  $u_j$  为  $v_j$  的父亲,  $h(v)$  为  $v$  到最大度顶点的距离, 则  $h(v_j) \geq h(v_i) = h(u_i) - 1$  且  $h(v_j) \geq 2$ . 此外  $u_i v_j \notin E(T)$ , 且  $d_T(u_i) \geq d_T(v), v \in N_T(v_j)$ . 否则交换  $v_i, v_j$  或  $u_i, u_j$  的位置, 此时无论  $u_j \notin N_T(v_i), u_j v_i \notin E(T)$ , 还是  $u_j \in N_T(v_i), u_j v_i \in E(T)$ , 均可令  $T' = T - u_i v_i - u_j v_j + u_i v_j + u_j v_i$ , 而

$$\begin{aligned} e^{\frac{1}{F}}(T') - e^{\frac{1}{F}}(T) &= [f(u_i, v_j) + f(u_j, v_i)] - [f(u_i, v_i) + f(u_j, v_j)] \\ &= [f(v_j, u_i) - f(v_i, u_i)] + [f(v_i, u_j) - f(v_j, u_j)] \\ &= [g(v_j, u_i) + g(v_j - 1, u_i) + \dots + g(v_i, u_i)] \\ &\quad - [g(v_i, u_i) + g(v_i - 1, u_i) + \dots + g(v_j, u_j)] \\ &> 0. \end{aligned}$$

故  $e^{\frac{1}{F}}(T') > e^{\frac{1}{F}}(T)$ , 与  $e^{\frac{1}{F}}(T)$  为最大值矛盾, 故  $T$  为贪婪树.

下面, 我们给出内部路与悬挂路的定义. 对于图  $G$  中一条长为  $k$  的路  $u_0 u_1 \dots u_{k-1} u_k$ , 若  $d_G(u_0) \geq 3$  且对于  $1 \leq i \leq k-1$ , 有  $d_G(u_i) = 2$ , 则当  $d_G(u_k) \geq 3$  时, 称它为图  $G$  的内部路; 当  $d_G(u_k) = 1$  时, 称它为图  $G$  的悬挂路.

**引理 6** 设  $T \in \mathcal{T}_n(n \geq 5)$  是使得  $e^{\frac{1}{F}}(T)$  达到最大值的一棵树, 则  $T$  中无长度大于 2 的悬挂路与内部路.

**证明** 若  $T$  中存在长度大于 2 的悬挂路, 由引理 1 的逆变换知, 这与  $T$  是使得  $e^{\frac{1}{F}}(T)$  达到最大的一棵树矛盾, 故  $T$  中悬挂路长至多为 2.

若  $T$  中存在长度大于 2 的最长内部路  $P_k = v_1v_2, \dots, v_k(k \geq 3)$ , 设  $T_{v_1}, T_{v_k}$  分别为  $T = v_1v_2, \dots, v_k$  且包含  $v_1, v_k$  的连通分支, 若  $P$  为  $T$  中一条包含  $P_k$  的最长路, 则必然可以找到一条悬挂边  $vu$ , ( $d(u) = 1$ ) 不在  $P$  中, 否则  $T$  为路. 由定理 2, 这与  $e^{\frac{1}{F}}(T)$  达到极大值矛盾. 不妨设  $uv \in T_{v_1}$ , 此时, 令  $T' = T - \{v_kw_k | w_k = N_T(v_k) \setminus \{v_{k-1}\}\} + \{uw_k | w_k = N_T(v_k) \setminus \{v_{k-1}\}\}$ ,  $N(v_k) \in T_{v_k}$ , 类似于引理 3 中的逆变换及计算可以得到, 若  $T$  中存在长度大于 2 的内部路, 则总可以找到更大的树满足要求, 与引理条件矛盾. 故  $T$  中无长度大于 2 的内部路.

**引理 7** 设  $T \in \mathcal{T}_n(n \geq 5)$  是使得  $e^{\frac{1}{F}}(T)$  达到最大值的一棵树, 则  $T$  中至多只有一条长度为 2 的悬挂路, 且当最大度顶点与悬挂点相邻时, 这条长度为 2 的悬挂路附在最大度顶点上.

**证明** (1) 首先证明  $T$  中至多只有一条长度为 2 的悬挂路, 若  $T$  中存在两条长度为 2 的悬挂路  $P_1 = uu_1u_2$ ,  $P_2 = vv_1v_2$ , 不妨设  $d_T(u) = x \leq y = d_T(v)$ ,  $2 \leq x \leq y$ . 令  $T' = T - u_1u_2 + v_1v_2$ , 则有

$$\begin{aligned} e^{\frac{1}{F}}(T') - e^{\frac{1}{F}}(T) &= [e^{\frac{1}{x^2}+1} + e^{\frac{1}{y^3}+\frac{1}{9}} + 2e^{\frac{1}{9}+1}] - [e^{\frac{1}{x^2}+\frac{1}{4}} + e^{\frac{1}{y^2}+\frac{1}{4}} + 2e^{\frac{1}{4}+1}] \\ &= e^{\frac{1}{x^2}}(e - e^{\frac{1}{4}}) + e^{\frac{1}{y^2}}(e^{\frac{1}{9}} - e^{\frac{1}{4}}) + 2e(e^{\frac{1}{9}} - e^{\frac{1}{4}}) \\ &\geq e^{\frac{1}{y^2}}(e - e^{\frac{1}{4}}) + e^{\frac{1}{y^2}}(e^{\frac{1}{9}} - e^{\frac{1}{4}}) + 2e(e^{\frac{1}{9}} - e^{\frac{1}{4}}) \\ &= e^{\frac{1}{y^2}}(e + e^{\frac{1}{9}} - 2e^{\frac{1}{4}}) + 2e(e^{\frac{1}{9}} - e^{\frac{1}{4}}) \\ &\geq e + e^{\frac{1}{9}} - 2e^{\frac{1}{4}} + 2e(e^{\frac{1}{9}} - e^{\frac{1}{4}}) \\ &> 0. \end{aligned}$$

即  $e^{\frac{1}{F}}(T') > e^{\frac{1}{F}}(T)$ , 矛盾. 故  $T$  中至多只有一条长度为 2 的悬挂路.

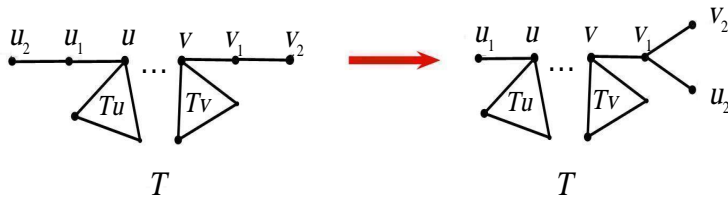


图 5 引理 7 的证明中, (1) 的树  $T$  和树  $T'$

(2) 若  $u$  为  $T$  中最大度顶点且与悬挂点  $v$  相邻, 下证这条长为 2 的悬挂路附在顶点  $u$  上. 如图 6,  $u$  为  $T$  中最大度顶点且与悬挂点  $v$  相邻,  $ww_1w_2$  为  $T$  中长为 2 的悬挂路. 设

$d_T(u) = x \geq y = d_T(w)$ , 令  $T' = T - w_1w_2 + vw_2$ , 则有

$$\begin{aligned} & e^{\frac{1}{F}}(T') - e^{\frac{1}{F}}(T) \\ &= [e^{\frac{1}{x^2}+\frac{1}{4}} + e^{\frac{1}{4}+1} + e^{\frac{1}{y^2}+1}] - [e^{\frac{1}{x^2}+1} + e^{\frac{1}{y^2}+\frac{1}{4}} + e^{\frac{1}{4}+1}] \\ &= e^{\frac{1}{x^2}}(e^{\frac{1}{4}} - e) + e^{\frac{1}{y^2}}(e - e^{\frac{1}{4}}) \\ &= (e^{\frac{1}{x^2}} - e^{\frac{1}{y^2}})(e^{\frac{1}{4}} - e) \\ &> 0, \end{aligned}$$

故  $e^{\frac{1}{F}}(T') > e^{\frac{1}{F}}(T)$ . 事实上, 对任意的顶点  $u'$  与  $v'$  满足  $d_T(u') > d_T(v')$ , 若  $u'$  上存在悬挂点, 则  $v'$  上无长度大于 1 的悬挂路.

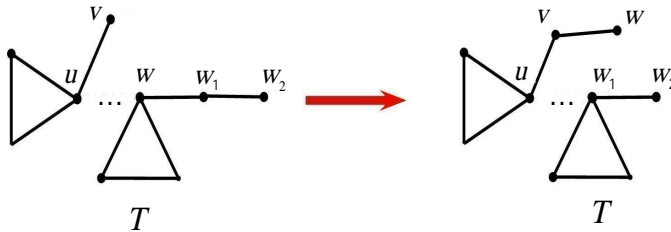


图 6 引理 7 的证明中, (2) 的树  $T$  和树  $T'$

结合引理 5、引理 6 和引理 7 容易得到, 当  $e^{\frac{1}{F}}(T)$  达到极大值时, 极图  $T$  的结构性质.

**定理 2** 设  $T \in \mathcal{T}_n(n \geq 5)$  是使得  $e^{\frac{1}{F}}(T)$  达到最大值的一棵树, 则  $T$  为贪婪树, 且  $T$  中

- (1) 无长度  $k \geq 2$  的内部路;
- (2) 无长度  $k \geq 3$  的悬挂路;
- (3) 至多只有一条长度  $k = 2$  的悬挂路.

本文考虑了当  $\varphi_{ij} = i^\alpha + j^\alpha (\alpha \geq 1)$  时, 指类型 VDB 拓扑指数  $\sum_{(i,j) \in K} m_{i,j}(G) e^{\varphi_{ij}}$  取得极值时, 对应的极树的结构, 并研究了当  $\alpha = -2$  时, 对应的反遗忘指数取得极值时, 对应极树的结构性质.

至于  $\alpha < 1$  时, 指类型 VDB 拓扑指数  $\sum_{(i,j) \in K} m_{i,j}(G) e^{i^\alpha + j^\alpha}$  取得极值的情况, 还不能通过本文的图变换和计算得到极值结果, 这将是我们未来进一步要研究的问题.

## 参考文献

- [1] Gutman I, Trinajstić N. Graph theory and molecular orbitals total  $\pi$ -electron energy of alternant hydrocarbons[J]. Chemical Physics Letters, 1972, 17: 535–538.
- [2] Furtula B, Gutman I. A forgotten topological index[J]. Journal of Mathematical Chemistry, 2015, 53(4): 1184–1190.
- [3] Li X, Zhao H. Trees with the first three smallest and largest generalized topological index[J]. MATCH Communications in Mathematical and in Computer Chemistry, 2004, 50: 57–62.

- 
- [4] Basavanagoud B, Patil S. A note on Hyper-Zagreb coindex of graph operation[J]. *Journal of Applied Mathematical and Computer Science*, 2017, 53(1–2): 647–655.
  - [5] Elumalal S, Mansour T, Rostami M. On the bounds of the forgotten topological index[J]. *Turkish Journal of Mathematics*, 2017, 41(6): 1687–1702.
  - [6] Deng H. A unified approach to the extremal Zagreb indices for trees, unicyclic graphs and bicyclic graphs[J]. *MATCH Communications in Mathematical and in Computer Chemistry*, 2007, 57(3): 597–616.
  - [7] Deng H, Sarala D, Ayyaswamy S. The Zagreb indices of four operations on graphs[J]. *Applied Mathematics and Computation*, 2016, 275: 422–431.
  - [8] Akter S, Imran M. Computing the forgotten topological index of four operations on graphs[J]. *Akce International Journal of Graphs and Combinatorics*, 2017, 14(1): 70–79.
  - [9] Kazemi R, Behtoei A. The first Zagreb and forgotten topological indices of d-ary trees[J]. *Hacettepe Journal of Mathematics and Statistics*, 2017, 46(4): 603–611.
  - [10] Rada J. Exponential vertex-degree-based topological indices and discrimination[J]. *MATCH Communications in Mathematical and in Computer Chemistry*, 2019, 81(1): 29–41.
  - [11] Cruz R, Rada J. The path and the star as extremal values of vertex-degree-based topological indices among trees[J]. *MATCH Communications in Mathematical and in Computer Chemistry*, 2019, 82(3): 715–732.
  - [12] Cruz R, Monsalve J, Rada J. Trees with maximum exponential Randić index[J]. *Discrete Applied Mathematics*, 2020, 283: 634–643.
  - [13] Gutman I. Degree-based topological indices[J]. *Croatica Chemica Acta*, 2013, 86(4): 351–361.
  - [14] Rada J, Bermudo S. Is every graph the extremal value of a vertex-degree-based topological index[J]. *MATCH Communications in Mathematical and in Computer Chemistry*, 2019, 81(2): 315–323.
  - [15] Zhang P, Dey D. The degree profile and gini index of random caterpillar trees[J]. *Probability in the Engineering and Informational Sciences*, 2019, 33(4): 511–527.
  - [16] Biyikoğlu T, Leydold J. Graphs with given degree sequence and maximal spectral radius[J]. *The Electronic Journal of Combinatorics*, 2008, 15(1): R119.
  - [17] Lin W, Huang L. On the trees with maximal augmented Zagreb index[J]. *IEEE Access*, 2018, 6(1): 69335–69341.